



การประชุมวิชาการ

เครือข่ายพลังงานแห่งประเทศไทยครั้งที่ 13

13TH CONFERENCE ON ENERGY NETWORK OF THAILAND

“ Sustainable Energy Development for Community and Innovation ”

31 พ.ค. - 2 มิ.ย. 2560 ณ โรงแรม ดิเอ็มเพรส เชียงใหม่



MAEJO
Go Eco
UNIVERSITY

กำหนดการ

- ส่งบทความวิจัยฉบับสมบูรณ์
- ตอบรับบทความวิจัยฉบับสมบูรณ์
- ส่งบทความวิจัยฉบับสมบูรณ์ (แก้ไข)
- ลงทะเบียนล่วงหน้า
- จัดงานประชุม E-NETT 13

- ก่อน วันที่ 17 เมษายน 2560
- วันที่ 30 เมษายน 2560
- ก่อน วันที่ 12 พฤษภาคม 2560
- วันที่ 1-26 พฤษภาคม 2560
- วันที่ 31 พฤษภาคม - 2 มิถุนายน 2560

จัดการประชุมโดย : วิทยาลัยพัฒนาภาคแยก มหาวิทยาลัยแม่โจ้ ร่วมกับ มหาวิทยาลัยเทคโนโลยีราชมงคลเชียงใหม่

ENETT13-MP-44	ปัจจัยที่มีอิทธิพลต่อการเลือกใช้ของผู้บริโภคสถานีบริการก๊าซธรรมชาติสำหรับยานยนต์	144
ENETT13-MP-54	การศึกษาเปรียบเทียบความคุ้มทุนในการลงทุนติดตั้งระบบพลังงานแสงอาทิตย์บนหลังคาโรงงานอุตสาหกรรม ภายใต้มาตรการสนับสนุนสองประเภท	145
ENETT13-MP-83	การเพิ่มสมรรถนะเชิงความร้อนของท่อแลกเปลี่ยนความร้อนด้วยอุปกรณ์สร้างการให้เหลมน้ำคงความแนวนอน	146
	๑. ภาคใต้	
ENETT13-MP-96	การประยุกต์ใช้ระบบบริหารจัดการพลังงานในภาคชนบท	147
ENETT13-MP-133	การประเมินผลกระทบของการใช้พื้นที่ทางการเกษตรสำหรับที่ตั้งโรงไฟฟ้าฟาร์มโควตาอิก	148
ENETT13-MP-134	การศึกษาโครงสร้างค่าไฟฟ้าสำหรับระบบพลังงานแสงอาทิตย์ที่มีระบบกักเก็บพลังงาน	149
ENETT13-MP-136	การพัฒนาแนวทางการออกแบบ และเกณฑ์ขั้นต่ำของคุณสมบัติการป้องกันความร้อน ของเปลือกอาคาร ที่สอดคล้องกับแผนอนุรักษ์พลังงาน 20 ปี ในอาคารชุดพักอาศัย	150
ENETT13-MP-144	เศรษฐกิจศาสตร์พลังงานของการผลิตไฟฟ้าจากเซลล์แสงอาทิตย์บนหลังคาที่อยู่อาศัยภายในเมืองไทยทั่วโลกหน่วย	151
ENETT13-MP-174	อัตรารับซื้อไฟฟ้าที่ผลิตจากโซล่าเซลล์ติดตั้งบนหลังคาบ้านพักอาศัยที่เหมาะสมภายใต้รูปแบบเน็ตมิเตอร์ริง	152
ENETT13-MP-249	สมรรถนะระบบทำน้ำร้อนพลังงานแสงอาทิตย์ระดับครัวเรือนในประเทศไทย	153
ENETT13-MP-260	การศึกษาต้นทุนการผลิตในกระบวนการผลิตเอทานอลจากเปลือกสับปะรด (<i>Ananas comosus</i>)	154
ENETT13-MP-274	[แก้ไข] การวิเคราะห์พฤติกรรมการซื้อเพื่อประมาณปริมาณพลังงานเมื่อใช้รถยนต์ไฟฟ้าแทนรถยนต์เครื่องยนต์สันดาปภายใน ในกรุงเทพมหานคร	155
ENETT13-MP-279	การเลือกสารเปลี่ยนสถานะสำหรับระบบกักเก็บความเย็นในโครงสร้างอาคาร เพื่อการปรับอากาศ ในเขตต้อนชั้นด้วยวิธีการตัดสินใจแบบหลายหลักเกณฑ์ อิทธิพลของครีบบางอุ่นต่อพฤติกรรมเชิงความร้อนในท่อจั่รัส	156
ENETT13-MP-285	อิทธิพลของครีบบางอุ่นต่อพฤติกรรมเชิงความร้อนในท่อจั่รัส	157
ENETT13-MP-292	ปัจจัยที่มีผลต่อการตัดสินใจเลือกใช้เซลล์แสงอาทิตย์เพื่อผลิตพลังงานทดแทน ของผู้บริโภคในจังหวัดแพร่	158
ENETT13-MP-294	การพัฒนาศูนย์การเรียนรู้และถ่ายทอดเทคโนโลยีพลังงานสะอาดเพื่อสุขภาพ ของชุมชน	159
ENETT13-MP-312	การศึกษาบททวนและทดสอบผลิตภัณฑ์เครื่องปรับอากาศแบบอินเวอร์เตอร์ เพื่อกำหนดค่ามาตรฐานประสิทธิภาพพลังงาน	160
ENETT13-MP-313	การศึกษาบททวนและทดสอบผลิตภัณฑ์ตู้เย็นเพื่อกำหนดค่ามาตรฐาน ประสิทธิภาพพลังงาน	161
ENETT13-MP-315	การศึกษาบททวนและทดสอบผลิตภัณฑ์ตู้เย็นแสดงสินค้าเพื่อกำหนดค่า มาตรฐานประสิทธิภาพพลังงาน	162
ENETT13-OF-4	การผลิตไฮโดรเจนด้วยสาหร่ายสีเขียว <i>Tetraspora</i> sp. CU2551 ที่ถูกต้องใน แหล่งเชี่ยวชาญผ่านวิจัยการผลิตช้าใหม่ด้วยระบบการสั่งเคราะห์แสงและ การขาดออกซิเจน	163
ENETT13-OF-25	สภาพที่เหมาะสมของการผลิตเอทิลเอสเทอโร์จากการด้วยมันปาล์มด้วย กระบวนการเอสเทอโรฟิเคชันขั้นตอนเดียว: วิธีพื้นผิวดอบสนอง	164
ENETT13-OF-26	การผลิตไบโอดีเซลด้วยปฏิกริยาการทรานส์เอสเทอโรฟิเคชันจากน้ำมันเมล็ด สะเดา ที่ผ่านการสกัดด้วยตัวทำละลาย	165

การเพิ่มสมรรถนะเชิงความร้อนของท่อแลกเปลี่ยนความร้อนด้วยอุปกรณ์สร้างการไหลหมุนคงตามแนวแกน
Enhancement of thermal performance of heat exchanger tube using longitudinal vortex generators

ภาณุวัฒน์ หุ่นพงษ์¹, โชคติวุฒิ ประสารสุข¹, พงษ์เจต พรมวงศ์², สมพล สกุลหลง^{3*} และสุราทิพย์ วิทยปิyanan⁴

¹ สาขาวิศวกรรมโลหะเครื่องกล คณะเทคโนโลยีอุตสาหกรรม มหาวิทยาลัยราชภัฏเทศาทรี

321 ถนนนารายณ์มหาราช ตำบลสะเต๊บศรี อำเภอเมือง จังหวัดพบรี 15000

² สาขาวิชาช่างเครื่องกล คณะวิศวกรรมศาสตร์ สถาบันเทคโนโลยีพระจอมเกล้าเจ้าคุณทหารลาดกระบัง

ถนนธ่องกรุง เขตตลาดกระบัง กรุงเทพฯ 10520

³ กลุ่มวิจัยระบบพลังงาน ภาควิชาศึกษาและเครื่องกล คณะวิศวกรรมศาสตร์ศรีราชา มหาวิทยาลัยเกษตรศาสตร์ วิทยาเขตศรีราชา

199 หมู่ 6 ถนนสุขุมวิท ตำบลทุ่งสุขลา อำเภอศรีราชา จังหวัดชลบุรี 20230

⁴ กลุ่มวิจัยเทคโนโลยียานยนต์และพัฒนาทางสีเลือก ภาควิชาศึกษาและเครื่องกล คณะวิศวกรรมศาสตร์ศรีราชา มหาวิทยาลัยเกษตรศาสตร์

วิทยาเขตศรีราชา 199 หมู่ 6 ถนนสุขุมวิท ตำบลทุ่งสุขลา อำเภอศรีราชา จังหวัดชลบุรี 20230

*ผู้ติดต่อ: E-mail: sfengsps@src.ku.ac.th, sompol@eng.src.ku.ac.th

บทคัดย่อ

บทความนี้นำเสนออิทธิพลของแผ่นปีกรูปทรงสี่เหลี่ยมผืนผ้าที่ติดตั้งในท่อเครื่องแลกเปลี่ยนความร้อนในสภาพพลักซ์ความร้อนของท่อคงที่เพื่อศึกษาคุณลักษณะของการถ่ายเทความร้อนและความต้านทานการไหล การทดลองดำเนินการโดยใส่แผ่นปีกสี่เหลี่ยมผืนผ้าในท่อแลกเปลี่ยนความร้อน แผ่นปีกมีมุมปะทะ 30° สัดส่วนระยะพิทซ์ตามแนวการไหลต่อเส้นผ่านศูนย์กลางท่อ 4 ค่า ($PR=P/D = 0.5, 1.0, 1.5$ และ 2.0) และสัดส่วนความสูงปีกต่อเส้นผ่านศูนย์กลางท่อค่าเดียว ($BR=b/D = 0.24$) อาการถูกนำมามใช้เป็นของไหลทดสอบโดยแสดงในรูปของเลขเรียนโนล์ดในช่วง 4160 ถึง 25,400 ผลการทดลองแสดงให้เห็นว่าการใส่แผ่นปีกสี่เหลี่ยมผืนผ้าในท่อแลกเปลี่ยนความร้อนสามารถเพิ่มอัตราการถ่ายเทความร้อนได้สูงถึง 3.7 เท่า เมื่อเทียบกับท่อเปล่าผิวเรียบขณะที่ตัวประกอบเสียดทานมีค่าสูงถึง 21.8 เท่า แผ่นปีกที่มีสัดส่วนระยะพิทซ์ตามแนวการไหลต่อเส้นผ่านศูนย์กลางท่อ (PR) ที่หรือมีระยะสั้นจะให้ค่าการถ่ายเทความร้อนและตัวประกอบเสียดทานสูง สมรรถนะเชิงความร้อนของการใส่แผ่นปีกในท่อแลกเปลี่ยนความร้อนมีค่าอยู่ในช่วง 1.25 – 1.54 โดยค่าสูงและเป็นจุดที่เหมาะสมที่สุดสำหรับการทดลองนี้คือกรณี $PR = 1.0$ คำหลัก: แผ่นปีกสี่เหลี่ยมผืนผ้า, เครื่องแลกเปลี่ยนความร้อน, ตัวประกอบเสียดทาน, การไหลหมุนคง, สมรรถนะเชิงความร้อน

Abstract

This article presents the influence of rectangular-winglet tape placed in a uniform heat-fluxed heat exchanger tube on heat transfer and flow resistance characteristics. In the current experiment, the rectangular-winglet tape with attack angle of 30° are inserted into the tube with four relative winglet-pitches ($RP=P/D = 0.5, 1.0, 1.5$ and 2.0) at a single winglet blockage ratios ($BR=b/D = 0.24$). Air as the test fluid flows through the tube for Reynolds number of about 4160–25,400. The experimental results reveal that the rectangular-winglet tape can considerably enhance the heat transfer rate up to 3.7 times above the smooth tube whereas the friction factor is up to 21.8 times. The decrease in PR leads to higher heat transfer and friction loss. The thermal enhancement factor of the rectangular-winglet tape is in the range of 1.25 – 1.54 where its maximum regarded as the optimum point is at $PR = 1.0$.

Keywords: Rectangular-winglet tape, Heat exchanger, Friction loss, Vortex generator, Thermal performance

1. บทนำ

ปัจจุบันมีการศึกษาเชิงทดลองและการวิเคราะห์เชิงตัวเลขเกี่ยวกับเทคโนโลยีการเพิ่มการถ่ายเทความร้อนอย่างกว้างขวาง โดยมีวัตถุประสงค์เพื่อลดการใช้พลังงาน ลดขนาดและต้นทุนของอุปกรณ์แลกเปลี่ยนความร้อน หนึ่งใน

วิธีการเพิ่มค่าการถ่ายเทความร้อนให้แก่อุปกรณ์แลกเปลี่ยนความร้อนคือวิธี Passive [1] ซึ่งเป็นวิธีที่ได้รับความนิยมเป็นอย่างมาก เนื่องจากไม่จำเป็นต้องนำพลังงานภายนอกเข้ามาช่วย สามารถสร้างขึ้นได้เอง เช่น การเพิ่มพื้นผิว การติดตั้งอุปกรณ์สร้างการไหลปั่นป่วน (Turbulator device)

การติดตั้งอุปกรณ์สร้างการไหลหมุนควง (Vortex generator, VG) เป็นต้น

การติดตั้งอุปกรณ์สร้างการไหลปั่นป่วน (Turbulator device, TD) เช่น ลวดชด ใบปิด และการติดตั้งอุปกรณ์สร้างการไหลหมุนควง (Vortex generator, VG) เช่น ปีก (Winglet) ช่วยเพิ่มประสิทธิภาพของกระบวนการขนส่ง (Transport phenomena) ด้วยการพัฒนากระแสนมุนควง ตามแนวแกนการไหลรวมทั้งแนววางการไหล ทั้งยังสามารถเพิ่มระดับการผสานของไอลอุณหภูมิสูงและทำให้เป็นอย่างต่อเนื่องให้เกิดการขัดขวางการพัฒนาขั้นขอบเขตความร้อน (Thermal boundary layer) ที่นำไปสู่การเพิ่มขึ้นของค่าสัมประสิทธิ์การถ่ายเทความร้อน (Convective heat transfer coefficient)

กรณีการติดตั้งอุปกรณ์สร้างการไหลปั่นป่วน Eiamsa-ard et al. [2] ทำการศึกษาเชิงทดลองในท่อเครื่องแลกเปลี่ยนความร้อนทรงกลมด้วยการติดตั้งใบปิดแบบเว้นระยะ ($S = 1.0, 2.0$ และ 3.0) เปรียบเทียบกับใบปิดยาว ($S = 0$) ที่มีค่าอัตราส่วนการปิด 2 ค่า ($y = 6.0$ และ 8.0) จากการทดลองพบว่าค่าการถ่ายเทความร้อนสูงสุดพบที่การติดตั้งใบปิดยาว Promvonge [3] ทำการเพิ่มค่าการถ่ายเทความร้อนและสมรรถนะเชิงความร้อนของเครื่องแลกเปลี่ยนความร้อนด้วยการติดตั้งลวดชดสองชนิด (ลวดชดกลมและลวดชดจัตุรัส) การทดลองพบว่า การติดตั้งลวดชดทั้งสองชนิดให้ค่าการถ่ายเทความร้อนและตัวประกอบเสียดทานสูงกว่าท่อผนังเรียบ โดยค่าสมรรถนะเชิงความร้อนสูงสุดพบที่กรณีติดตั้งลวดชดจัตุรัส Promvonge and Eiamsa-ard [4] ศึกษาการเพิ่มการถ่ายเทความร้อนในท่อกลมด้วยการติดตั้งวงแหวนรูปกรวยร่วมกับใบปิดในช่วงการไหลแบบปั่นป่วนที่มีค่าเลขเรียโนลต์ในช่วง 6000 ถึง $26,000$ จากการศึกษาพบว่า การติดตั้งวงแหวนรูปกรวยร่วมกับใบปิดให้ค่าการถ่ายเทความร้อนและสมรรถนะเชิงความร้อนสูงกว่าการติดตั้งวงแหวนรูปกรวยเพียงอย่างเดียวในช่วง $4\text{--}10\%$ และ $4\text{--}8\%$ ตามลำดับ Promvonge [5] ทดลองการเพิ่มสมรรถนะเชิงความร้อนของเครื่องแลกเปลี่ยนความร้อนด้วยการติดตั้งลวดชดร่วมกับใบปิดเพื่อสิ่งรังการไหลปั่นป่วนจากการทดลองพบว่า การใช้อุปกรณ์ร่วมระหว่างลวดชดและใบปิดส่งผลให้ระดับการไหลปั่นป่วนเพิ่มสูงขึ้นเมื่อเทียบกับการใช้ลวดชดหรือใบปิดเพียงอย่างเดียว โดยมีค่าสมรรถนะเชิงความร้อนเท่ากับ 1.5

กรณีการติดตั้งอุปกรณ์สร้างการไหลหมุนควง Skullong et al. [6] ศึกษาสมรรถนะเชิงความร้อนในท่อกลมโดยใช้แผ่นพรมติดปีกสี่เหลี่ยมแบบบางเบื้องและเปรียบเทียบผลที่ได้กับแผ่นทึบ ผลการทดลองพบว่า แผ่นพรมติดปีกสี่เหลี่ยมแบบบางเบื้องให้ค่าสมรรถนะเชิงความ

ร้อนสูงกว่าแผ่นทึบเนื่องจากมีค่าตัวประกอบเสียดทานต่ำกว่า Skullong et al. [7] ทำการศึกษาเชิงทดลองและวิเคราะห์เชิงตัวเลขของเครื่องแลกเปลี่ยนความร้อนโดยการใช้แผ่นปีกสามเหลี่ยมภายในท่อ ผลการทดลองและผลการวิเคราะห์เชิงตัวเลขมีค่าใกล้เคียงและมีแนวโน้มไปในทิศทางเดียวกัน การใช้แผ่นปีกสามเหลี่ยมให้ค่าสมรรถนะเชิงความร้อนสูงถึง 1.49 โดยมีค่าสูงกว่าการติดตั้งอุปกรณ์สร้างการไหลปั่นป่วนชนิดใบปิดเกลียว วงแหวนผสมลวดชด และใบปิดยาว $12\%, 22\%$ และ 28% ตามลำดับ Prasopsuk et al. [8] ศึกษาเชิงทดลองเกี่ยวกับการเพิ่มสมรรถนะเชิงความร้อนของเครื่องแลกเปลี่ยนความร้อนแบบท่อกลมด้วยการติดตั้งแผ่นปีกพรมที่มีการปรับเปลี่ยนเส้นผ่านศูนย์กลางของรูเจาะ 4 ค่า ($d = 1.0, 1.5, 2.0$ และ 3.0 mm) พบว่า แผ่นปีกพรมที่มีเส้นผ่านศูนย์กลางของรูเจาะขนาดเล็ก ($d = 1.0$ mm) ให้ค่าการถ่ายเทความร้อนและตัวประกอบเสียดทานสูงกว่าเส้นผ่านศูนย์กลางของรูเจาะขนาดใหญ่ ($d = 3.0$ mm) ในขณะที่ค่าสมรรถนะเชิงความร้อนพบที่เส้นผ่านศูนย์กลางของรูเจาะ 2.0 mm โดยมีค่าเท่ากับ 1.46 Skullong et al. [9] ทำการเพิ่มสมรรถนะให้แก่เครื่องแลกเปลี่ยนความร้อนโดยติดตั้งแผ่นพรมติดปีกสามเหลี่ยมจากการทดลองพบว่า การติดตั้งอุปกรณ์ดังกล่าวสามารถสร้างการไหลหมุนควงตามแนวราบซึ่งไปทำลายขั้นขอบเขตความร้อน ส่งผลให้ค่าการถ่ายเทความร้อนและสมรรถนะเชิงความร้อนเพิ่มสูงขึ้น

จากการวิจัยที่ผ่านมาทั้งในและของการทดลองและการวิเคราะห์เชิงตัวเลขชี้ให้เห็นว่าการติดตั้ง VG จะทำให้ของไหลผสานกันได้ดีกว่าการติดตั้ง TD เนื่องจากแกนการหมุนของ VG แข็งแรงกว่า ดังนั้นจุดประสงค์ของนวัตกรรมนี้คือ พัฒนาอุปกรณ์ VG เพื่อใช้ในเครื่องแลกเปลี่ยนความร้อนชนิดท่อกลม โดยใช้แผ่นปีกสี่เหลี่ยมทำมุมปะทะ 30° สัดส่วนความสูงปีกต่อความสูงหักค่าเดียว ($b/D=BR=0.24$) และสัดส่วนระยะพิธช์ตามแนวการไหลต่อเส้นผ่านศูนย์กลางท่อ (P/D) 4 ค่า คือ $0.5, 1.0, 1.5$ และ 2.0 เพื่อศึกษาอิทธิพลของการถ่ายเทความร้อน ตัวประกอบเสียดทานและสมรรถนะเชิงความร้อน

2. ทฤษฎีและการคำนวณ

การศึกษาเชิงทดลองสำหรับงานวิจัยนี้คือ เพื่อศึกษาการถ่ายเทความร้อนและการสูญเสียความดันในรูปของตัวประกอบเสียดทานรวมทั้งสมรรถนะเชิงความร้อนของเครื่องแลกเปลี่ยนความร้อน โดยใช้อากาศเป็นของไหลทดสอบ (Working fluid) ซึ่งมีทฤษฎีและการคำนวณที่เกี่ยวข้องดังนี้

การวิเคราะห์และคำนวณการไหลของของไอลททดสอบ
แสดงในเทอมของเลขเรียโนลต์ซึ่งเป็นตัวแปรไว้มิติ ดังแสดง
ในสมการที่ (1)

$$Re = VD / \nu \quad (1)$$

ตัวประกอบเสียดทาน (f) หากได้จาก

$$f = \frac{2}{(L/D)} \frac{\Delta P}{\rho V^2} \quad (2)$$

สมดุลความร้อนระหว่างความร้อนที่อากาศได้รับ (Q_{air}) และการพาราความร้อน (Q_{conv}) สามารถแสดงได้ดังนี้

$$Q_{air} = Q_{conv} \quad (3)$$

ดังนั้นสัมประสิทธิ์การพาราความร้อนเฉลี่ย (h) หากได้จาก

$$h = \frac{\dot{m} C_{p,a} (T_o - T_i)}{A(\tilde{T}_s - T_b)} \quad (4)$$

$$\text{เมื่อ } T_b = (T_o + T_i) / 2 \quad (5)$$

$$\text{และ } \tilde{T}_s = \sum (T_{w1} + T_{w2} + \dots + T_{w24}) / 24 \quad (6)$$

เลขนัสเซิลท์เฉลี่ย (Nu) หากได้ดังสมการต่อไปนี้

$$Nu = hD / k \quad (7)$$

สมรรถนะเพิ่มความร้อน (Thermal enhancement factor, TEF) คือ อัตราส่วนของสัมประสิทธิ์การพาราความร้อนของเครื่องแลกเปลี่ยนความร้อนที่มีการติดตั้งแผ่นปีก (h) กับสัมประสิทธิ์การพาราความร้อนของเครื่องแลกเปลี่ยนความร้อนผิวน้ำ (h_0) ซึ่งคิดที่กำลังขึ้นเดียวกัน จากเอกสารอ้างอิง [1-9] โดยแสดงได้ดังนี้

$$TEF = \frac{h}{h_0|_{pp}} = \frac{Nu}{Nu_0|_{pp}} = \left(\frac{Nu}{Nu_0} \right) \left(\frac{f}{f_0} \right)^{-1/3} \quad (8)$$

โดยที่

A คือ พื้นที่การถ่ายเทความร้อนโดยการพาราของท่อ
ทดสอบ

$C_{p,a}$ คือ ค่าความจุความร้อนจำเพาะของอากาศ

L คือ ความยาวชุดทดสอบ

ΔP คือ ความตันตกคร่อมชุดทดสอบ

V คือ ความเร็วเฉลี่ย

T_b คือ อุณหภูมิเฉลี่ย

T_o คือ อุณหภูมิทางออก

T_i คือ อุณหภูมิทางเข้า

\tilde{T}_s คือ อุณหภูมิผิวน้ำเฉลี่ยของท่อทดสอบ

m คือ อัตราการไหลเชิงมวลของอากาศ

ν คือ ความหนืดเชิงจลน์ของไอลททดสอบ

ρ คือ ค่าความหนาแน่นของไอลททดสอบ

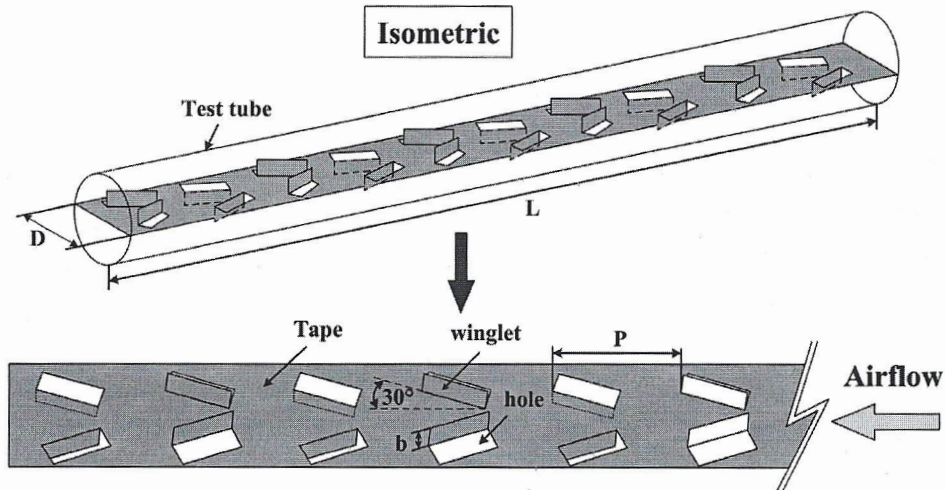
3. อุปกรณ์ การติดตั้ง และวิธีการทดลอง

3.1 แผ่นปีกทดสอบ

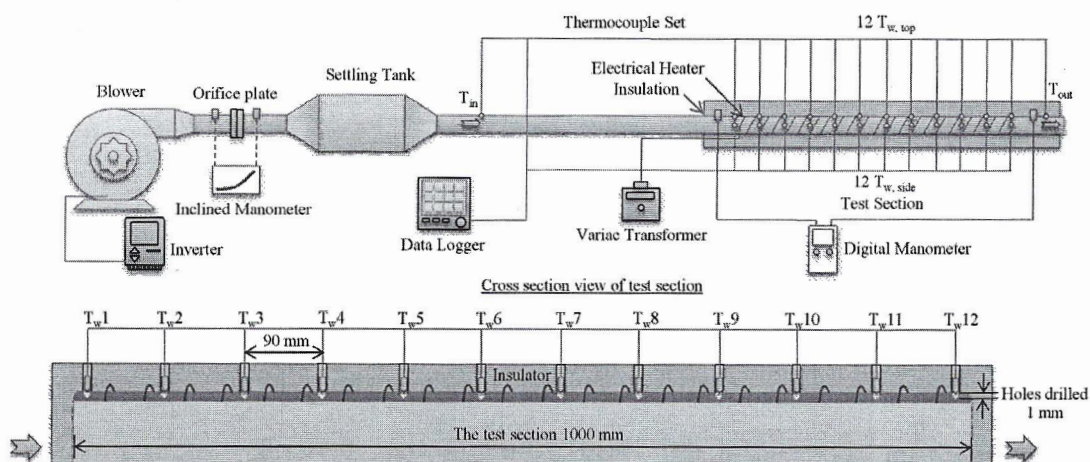
ชุดทดสอบเครื่องแลกเปลี่ยนความร้อนมีลักษณะเป็นท่อกลมทรงกระบอกมีความยาวรวม 3000 mm ส่วนทดสอบยาว (L) 1000 mm โดยมีเส้นผ่านศูนย์กลางท่อ (D) 50 mm แผ่นปีกที่ใช้ในการทดสอบมีความกว้าง (W) 50 mm มีความยาวเท่ากับความยาวส่วนทดสอบ ($=L=1000$ mm) และหนา (t) 0.8 mm แผ่นปีกถูกสร้างขึ้นจากแผ่นอะลูมิเนียมโดยการเจาะรูเป็นรูปทรงสี่เหลี่ยมแล้วขันเข้าด้วยกัน แสดงในรูปที่ 1 ซึ่งมีมุมประทະ 30° สัดส่วนความสูงปีกต่อความสูงท่อ (b/D) เท่ากับ 0.24 และสัดส่วนระยะพิเศษตามแนวการไหลต่อเส้นผ่านศูนย์กลางท่อ (P/D) 4 ค่า คือ 0.5, 1.0, 1.5 และ 2.0

3.2 ชุดทดลองและวิธีการ

อุปกรณ์ชุดทดลองเครื่องแลกเปลี่ยนความร้อนแสดงดังรูปที่ 2 จากรูป อุปกรณ์ชุดทดลองประกอบด้วยพัดลมแรงดันสูงขนาด 2.0 kW ซึ่งใช้เป็นแหล่งจ่ายของไอลททดสอบ (อากาศ) ผ่านแผ่นอรifice (Orifice plate) ที่มีหน้าที่เป็นตัววัดอัตราการไหลของอากาศก่อนเข้าส่วนทดสอบ โดยมีมาตรวัดอัตราการไหลแบบอินคลินีตเมเตอร์ (Inclined manometer) เป็นตัววัดค่าผลต่างของความดันโดยการอ่านค่าจากความแตกต่างของระดับน้ำ จากนั้นาอากาศถูกส่งไปยังถังจัดระเบียบการไหลของไอล (Settling tank) และเข้าสู่ช่วงปรับสภาพการไหล (Calm section) ซึ่งเป็นตัวปรับสภาพการไหลของอากาศให้มีลักษณะพัฒนาอย่างเต็มที่ (Fully developed flow) ก่อนเข้าสู่ชุดทดสอบ (Test section) ชุด漉ดี้ตีตเตอร์ไฟฟ้า (Electrical wire) ขนาด 2000 W ถูกนำมาพันรอบท่อทดสอบเพื่อใช้เป็นแหล่งกำเนิดความร้อนและมีการทุบฉานอย่างดีเพื่อป้องกันการสูญเสียความร้อนสู่บรรยากาศภายนอก การวัดอุณหภูมิผิวท่อแลกเปลี่ยนความร้อนจะใช้เทอร์โมคัปเปิลชนิด T (T-type thermocouple) จำนวน 24 ตัว ขณะที่อุณหภูมิทางเข้าและอุณหภูมิทางออกชุดทดสอบจะใช้เซ็นเซอร์ชนิด RTD (Resistance Temperature Detector) เป็นตัววัดค่า โดยอุณหภูมิทั้งหมดจากเทอร์โมคัปเปิลและเซ็นเซอร์จะส่งสัญญาณไปยังระบบจัดเก็บข้อมูล (Data acquisition system) รุ่น FLUKE 2680A และประมวลผลมาอย่างเครื่องคอมพิวเตอร์ เงื่อนไขที่ใช้ในการทดสอบและพารามิเตอร์ต่างๆ แสดงในตารางที่ 1



รูปที่ 1 อุปกรณ์แผ่นปีกสี่เหลี่ยมผืนผ้า



รูปที่ 2 ชุดทดสอบเครื่องแลกเปลี่ยนความร้อน

ตารางที่ 1 รายละเอียดของพารามิเตอร์และเงื่อนไขที่ใช้ในการทดสอบ

Working fluid	Air
Reynolds number	4160 to 25,400
$b/D = BR$	0.24
$P/D = PR$	0.5, 1.0, 1.5, 2.0
Tape thickness	0.8 mm
Tape length	1000 mm

4. ผลการทดลอง

4.1 การทดสอบท่อผิวเรียบ

ก่อนทำการติดตั้งอุปกรณ์ VG ในรูปแบบแผ่นปีกสี่เหลี่ยมภายในท่อแลกเปลี่ยนความร้อนจำเป็นต้องทดสอบท่อผิวเรียบที่มีมาในอัตโนมัติเพื่อยืนยันความ

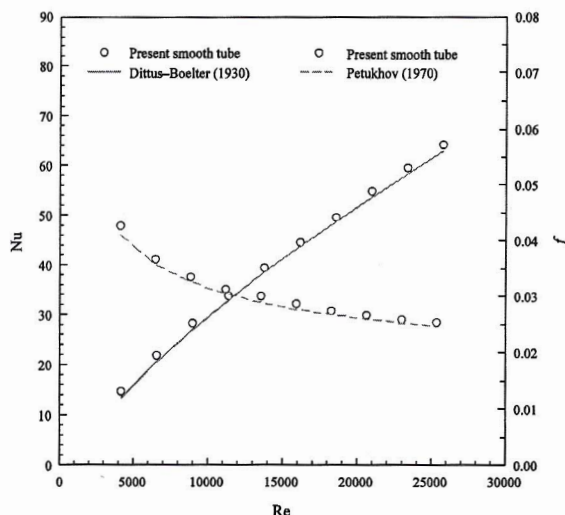
ถูกต้องของชุดทดสอบและผลการทดลอง โดยค่าการถ่ายเทความร้อนในรูปของตัวแปรไร์มิตแสดงในเทอมของเลขนัสเซลท์ (Nusselt number, Nu) ขณะที่ค่าความตันตกร่วมส่วนทดสอบแสดงในเทอมของตัวประกอบความเสียดทาน (friction factor, f) ค่า Nu ที่ได้จากการทดสอบห่อผิวเรียบจะนำมาเปรียบเทียบกับสมการของ Dittus-Boelter (สมการที่ 9) ขณะที่ค่า f จะนำมาเปรียบเทียบกับสมการของ Petukhov (สมการที่ 10) จากเอกสารอ้างอิง [10] ซึ่งเป็นช่วงการไหลปั่นป่านแบบพัฒนาเต็มที่ (Fully developed turbulent flow)

สมการของ Dittus-Boelter

$$Nu = 0.023 Re^{0.8} Pr^{0.4} \quad (9)$$

สมการของ Petukhov

$$f = 0.316 Re^{-0.25} \quad (10)$$



รูปที่ 3 ความสัมพันธ์ระหว่าง Nu และ f กับ Re กรณีท่อผิวเรียบ

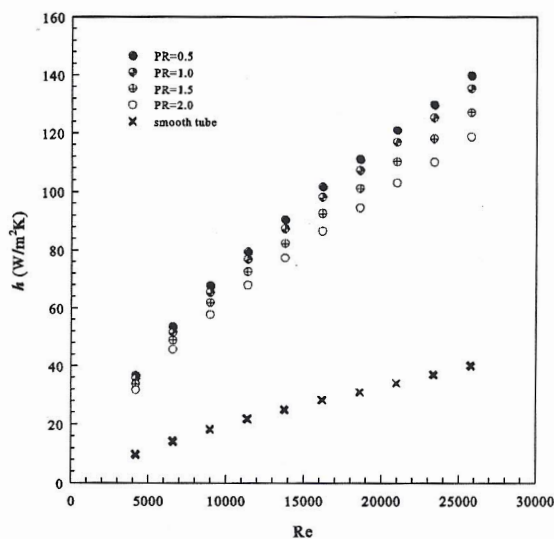
รูปที่ 3 แสดงความสัมพันธ์ระหว่างค่า Nu และ f จากผลการทดลองเปรียบเทียบกับสมการที่ (9) และ (10) ตามลำดับ ผลการทดลองท่อผิวเรียบมีค่าความคลาดเคลื่อนเฉลี่ย 5.2% สำหรับกรณี Nu และ 6.6% สำหรับกรณี f ดังนั้นสามารถสรุปได้ว่าการออกแบบชุดทดลองและผลการทดลองมีความถูกต้องแม่นยำจึงสามารถดำเนินการทดสอบอุปกรณ์ VG ต่อไปได้

4.2 การถ่ายเทความร้อน

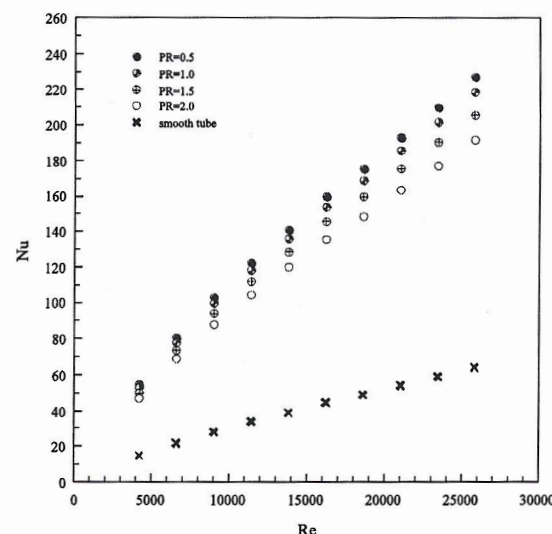
ความสัมพันธ์ระหว่างค่าสัมประสิทธิ์การถ่ายเทความร้อน (Heat transfer coefficient, h) กับเลข雷諾數 (Reynolds number, Re) แสดงดังรูปที่ 4 จากการทดลองพบว่าค่า h เพิ่มขึ้นตามการเพิ่มขึ้นของค่า Re โดยการติดตั้งแผ่นปีกจะเพิ่มค่า h มากกว่าค่า h สำหรับกรณีท่อผิวเรียบมีค่า h ต่ำสุด เมื่อจากแผ่นปีกที่มีระยะพิเศษ ($PR=0.5$) ให้ค่า h สูงสุดตามด้วย $PR=1.0$, 1.5 และ 2.0 ตามลำดับ ในขณะที่ท่อผิวเรียบมีค่า h ต่ำสุด เนื่องจากแผ่นปีกที่มีระยะพิเศษจะส่งผลให้เกิดการไหลหมุนคงตามแนวยาว (longitudinal vortex generator) ซึ่งจะช่วยในการขัดขวางการพัดพาขันขอบเขตความร้อนภายในท่อเครื่องแลกเปลี่ยนความร้อนและเกิดการผสมระหว่างของไหลอุณหภูมิต่ำและของไหลอุณหภูมิสูงได้เป็นอย่างดี。

ความสัมพันธ์ระหว่าง Nu กับ Re แสดงดังรูปที่ 5 เมื่อพิจารณาค่าการถ่ายเทความร้อนในรูปของตัวแปรเร้มิติ (Nu) พบว่า การติดตั้งแผ่นปีกให้ค่า Nu สูงกว่าท่อผิวเรียบถึง 72.97%, 72.1%, 70.45% และ 68.55% สำหรับกรณี $PR=0.5$, 1.0, 1.5 และ 2.0 ตามลำดับ

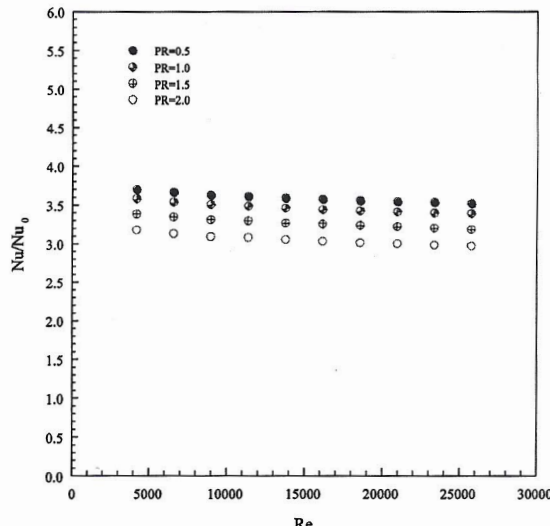
รูปที่ 6 แสดงความสัมพันธ์ระหว่างอัตราส่วนเลขนับเชิล์ฟ์กรณีติดตั้งแผ่นปีกต่อเลขนับเชิล์ฟ์ของท่อผิวเรียบ (Nu/Nu_0) กับ Re ผลการทดลองแสดงให้เห็นถึงค่า Nu/Nu_0 ที่มีแนวโน้มลดลงเมื่อค่า Re เพิ่มขึ้น การติดตั้งปีกภายในท่อแลกเปลี่ยนความร้อนสามารถช่วยเพิ่มค่าการถ่ายเทความร้อนได้เป็นอย่างดี โดยการติดตั้งแผ่นปีกที่ $PR=0.5$, 1.0, 1.5 และ 2.0 มีค่า Nu/Nu_0 เฉลี่ยเท่ากับ 3.6, 3.47, 3.27 และ 3.06 ตามลำดับ การติดตั้งแผ่นปีกที่ $PR=0.5$ ให้ค่า Nu/Nu_0 เฉลี่ยสูงกว่าการติดตั้งปีกที่ $PR=1.0$, 1.5 และ 2.0 เท่ากับ 3.5%, 9% และ 15% ตามลำดับ



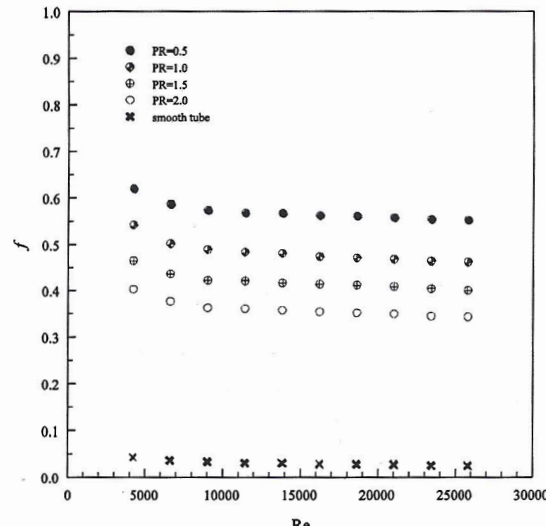
รูปที่ 4 ความสัมพันธ์ระหว่าง h กับ Re



รูปที่ 5 ความสัมพันธ์ระหว่าง Nu กับ Re



รูปที่ 6 ความสัมพันธ์ระหว่าง Nu/Nu_0 กับ Re

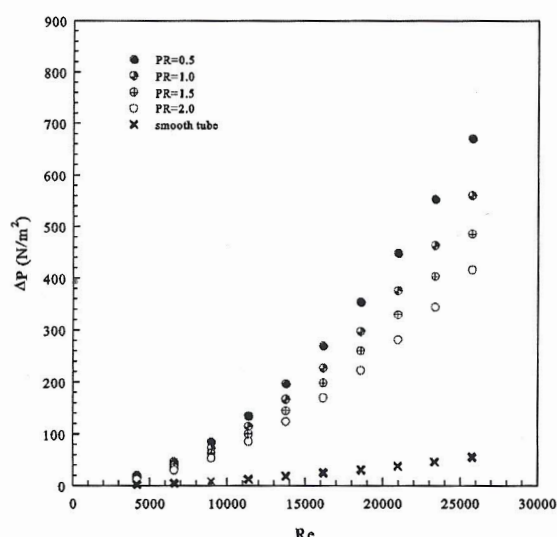


รูปที่ 8 ความสัมพันธ์ระหว่าง f กับ Re

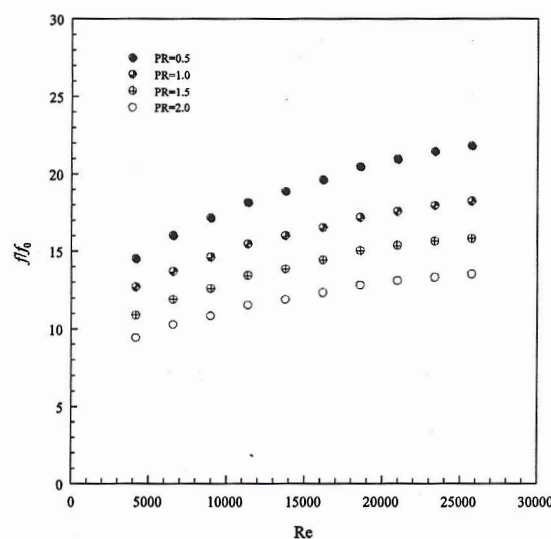
4.3 ความดันตកคร่อมและความเสียดทาน

ความสัมพันธ์ระหว่างค่าความดันตกคร่อม (Pressure drop, ΔP) ส่วนทดสอบกับ Re แสดงดังรูปที่ 7 จากการทดลองพบว่า เมื่อค่าการไหลของสารทำงานในรูปของ Re เพิ่มขึ้นส่งผลให้ค่า ΔP เพิ่มขึ้นตาม โดยการติดตั้งแผ่นปีกที่มีระยะพิทซ์ ($PR=0.5$) จะไปรบกวนการไหลของของไหลทำให้มีระดับความปั่นป่วนสูงกว่ากรณีแผ่นปีกที่มีระยะพิทซ์ห่าง

รูปที่ 8 แสดงความสัมพันธ์ระหว่าง f กับ Re จากรูปเห็นได้ชัดเจนว่าการติดตั้งปีกภายในท่อเครื่องและเปลี่ยนความร้อนส่งผลทำให้ค่า f เพิ่มสูงขึ้นเมื่อเทียบกับเครื่องและเปลี่ยนความร้อนแบบท่อผิวเรียบซึ่งสอดคล้องกับค่า Nu โดยการติดตั้งปีกให้ค่า f สูงกว่าท่อผิวเรียบ 21.8, 18.3, 15.8 และ 13.5 เท่า สำหรับกรณี $PR=0.5, 1.0, 1.5$ และ 2.0 ตามลำดับ



รูปที่ 7 ความสัมพันธ์ระหว่าง ΔP กับ Re



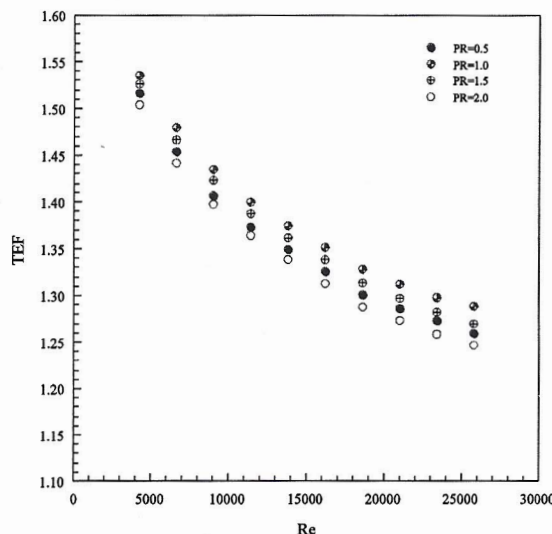
รูปที่ 9 ความสัมพันธ์ระหว่าง f/f_0 กับ Re

รูปที่ 9 แสดงความสัมพันธ์ระหว่างอัตราส่วนตัวประกอบเสียดทานกรณีติดตั้งปีกต่อตัวประกอบเสียดทานของท่อผิวเรียบ (f/f_0) กับ Re ผลการทดลองพบว่า f/f_0 มีค่าอยู่ในช่วง 14.5–21.8, 12.7–18.2, 10.9–15.8 และ 9.4–13.5 สำหรับ $PR=0.5, 1.0, 1.5$ และ 2.0 ตามลำดับ การติดตั้งปีกที่ $PR=0.5$ มีค่า f/f_0 เฉลี่ยสูงกว่าการติดตั้งปีกที่ $PR=1.0, 1.5$ และ 2.0 เท่ากับ 15.2%, 26.4% และ 36.9%

4.4 สมรรถนะเชิงความร้อน

เพื่อประเมินสมรรถนะของเครื่องและเปลี่ยนความร้อนกรณีติดตั้งแผ่นปีก ค่าสมรรถนะเชิงความร้อน (TEF) ได้ถูกกำหนดขึ้นซึ่งมีนิยามดังแสดงในสมการที่ (8) ความสัมพันธ์ระหว่าง TEF กับ Re แสดงดังรูปที่ 10 จากการทดลองพบว่า

ค่า TEF มีแนวโน้มลดลงเมื่อค่า Re เพิ่มสูงขึ้น โดย TEF มีค่าอยู่ในช่วง 1.26–1.52, 1.29–1.54, 1.27–1.53 และ 1.25–1.5 สำหรับ PR=0.5, 1.0, 1.5 และ 2.0 ตามลำดับ การติดตั้งแผ่นปีกที่ PR=1.0 ให้ค่า TEF สูงสุดสำหรับกรณีที่ทดสอบนี้ โดยมีค่าเท่ากับ 1.54 ที่ค่า Re=4160 และมีค่าสูงกว่าการติดตั้งปีกที่ PR=1.5, 0.5 และ 2.0 เท่ากับ 1.2%, 2.2% และ 3.2% ตามลำดับ



รูปที่ 10 ความสัมพันธ์ระหว่าง TEF กับ Re

5. สรุปผลการทดลอง

การทดลองเพื่อเพิ่มสมรรถนะให้แก่เครื่องแลกเปลี่ยนความร้อนชนิดท่อกลมด้วยการติดตั้งตัวสร้างการไหลที่มุ่งหวังตามแนวways นิดแผ่นปีกที่ PR=1.0 ให้ค่า TEF สูงสุดสำหรับกรณีที่มีการปรับเปลี่ยนสัดส่วนระยะที่ติดตั้งปีกค่าต่างๆ สามารถสรุปได้ดังนี้

➤ การติดตั้งแผ่นปีกภายในท่อเครื่องแลกเปลี่ยนความร้อนสามารถเพิ่มค่าการถ่ายเทขายความร้อนได้เป็นอย่างดี โดยมีค่าสูงกว่าท่อผิวเรียบ 68.55–72.97%

➤ ค่าการถ่ายเทขายความร้อนและตัวประกอบเสียดทานสูงสุดสำหรับกรณีที่ติดตั้งปีกที่ PR=0.5 โดยมีค่าสูงสุดเท่ากับ 3.7 และ 21.8 สำหรับ Nu/Nu₀ และ f/f₀ ตามลำดับ

➤ สมรรถนะเชิงความร้อน (TEF) สูงสุดในกรณีทดสอบ มีค่าเท่ากับ 1.54 โดยพบว่าการติดตั้งแผ่นปีกที่ PR=1.0 ซึ่งมีค่าสูงกว่าการติดตั้งปีกที่ PR=1.5, 0.5 และ 2.0 เท่ากับ 1.2%, 2.2% และ 3.2% ตามลำดับ

➤ การเลือกใช้ตัวสร้างการไหลที่มุ่งหวังตามแนวways นิดแผ่นปีกที่ PR=1.0 ให้ค่า TEF สูงสุดสำหรับกรณีที่ PR=1.0 ซึ่งมีค่าสูงกว่าการติดตั้งปีกที่ PR=1.5, 0.5 และ 2.0 เท่ากับ 1.2%, 2.2% และ 3.2% ตามลำดับ

➤ การเลือกใช้ตัวสร้างการไหลที่มุ่งหวังตามแนวways นิดแผ่นปีกที่ PR=1.0 ให้ค่า TEF สูงสุดสำหรับกรณีที่ PR=1.0 ซึ่งมีค่าสูงกว่าการติดตั้งปีกที่ PR=1.5, 0.5 และ 2.0 เท่ากับ 1.2%, 2.2% และ 3.2% ตามลำดับ

กรณีต้องการประหยัดพลังงานและเพิ่มค่าสมรรถนะของอุปกรณ์แลกเปลี่ยนความร้อนควรเลือกใช้ที่ PR=1.0 เนื่องจากใช้ค่า TEF สูงสุด

6. เอกสารอ้างอิง

- [1] Liu, S., Sakr, M. (2013). A comprehensive review on passive heat transfer enhancements in pipe exchangers, *Renewable and Sustainable Energy Reviews*, vol. 19, pp. 64–81.
- [2] Eiamsa-ard, S., Thianpong, C., Promvonge, P. (2006). Experimental investigation of heat transfer and flow friction in a circular tube fitted with regularly spaced twisted tape elements, *International Communications in Heat and Mass Transfer*, vol. 33, pp. 1225–1233.
- [3] Promvonge, P. (2008). Thermal performance in circular tube fitted with coiled square wires, *Energy Conversion and Management*, vol. 49, pp. 980–987.
- [4] Promvonge, P., Eiamsa-ard, S. (2007). Heat transfer behaviors in a tube with combined conical-ring and twisted-tape insert, *International Communications in Heat and Mass Transfer*, vol. 34, pp. 849–859.
- [5] Promvonge, P. (2008). Thermal augmentation in circular tube with twisted tape and wire coil turbulators, *Energy Conversion and Management*, vol. 49, pp. 2949–2955.
- [6] Skullong, S., Promvonge, P., Thianpong, C., Pimsarn, M. (2016). Heat transfer and turbulent flow friction in a round tube with staggered-winglet perforated-tapes, *International Journal of Heat and Mass Transfer*, vol. 95, pp. 230–242.
- [7] Skullong, S., Promvonge, P., Jayranaiwachira, N., Thianpong, C. (2016). Experimental and numerical heat transfer investigation in a tubular heat exchanger with delta-wing tape inserts, *Chemical Engineering and Processing: Process Intensification*, vol. 109, pp. 164–177.
- [8] Prasopsuk, C., Chingtuaythong, W., Khanoknaiyakarn, C., Skullong, S. and Promvonge, P. (2016). Performance assessment in a heat exchanger tube fitted with perforated-rectangular-winglet tape inserts, paper presented in the 7th TSME International Conference on Mechanical Engineering, 13–16 December 2016, Chiang Mai Thailand.

- [9] Skullong, S., Promvonge, P., Thianpong, C., Jayranaiwachira, N. (2017). Thermal behaviors in a round tube equipped with quadruple perforated-delta-winglet pairs, *Applied Thermal Engineering*, vol. 115, pp. 229–243.
- [10] Incropera, F., Dewitt, P.D. (2006). *Introduction to Heat Transfer*, 5th edition, John Wiley & Sons Inc.